

1/27

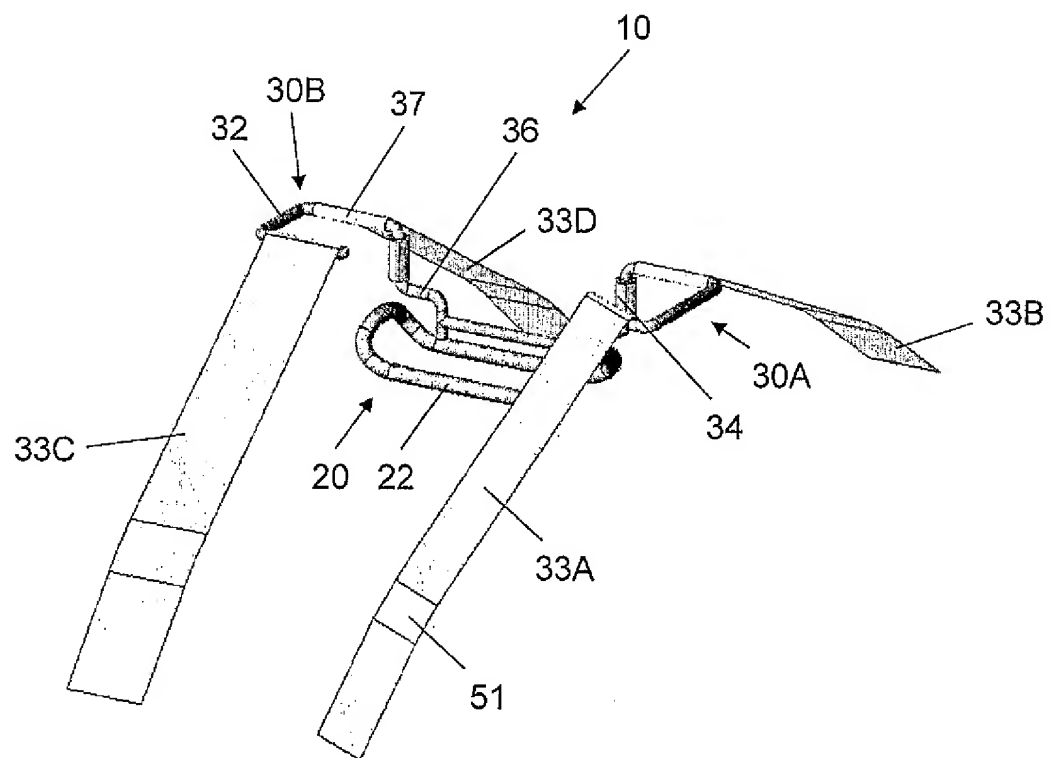


Fig. 1

2/27

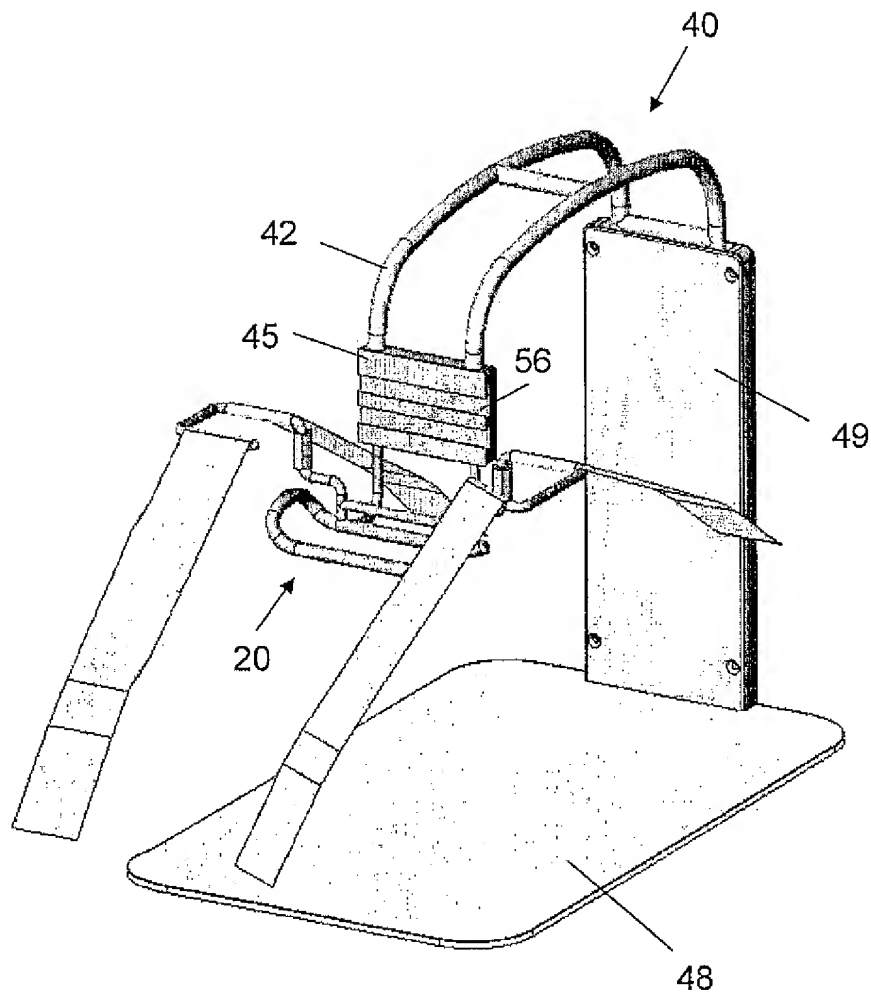


Fig. 2

3/27

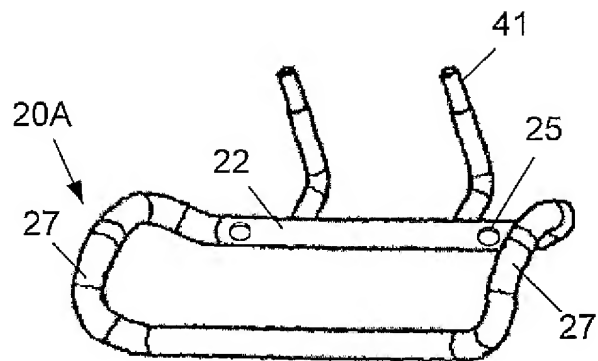


Fig. 3A

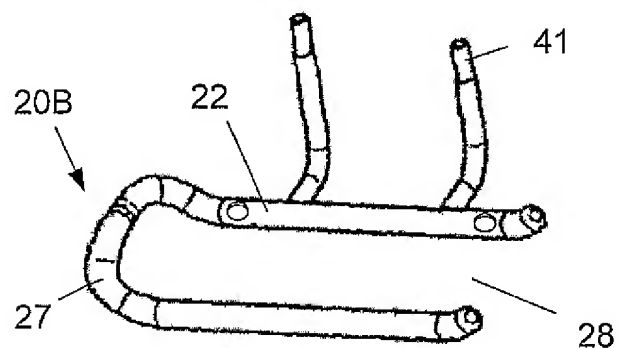


Fig. 3B

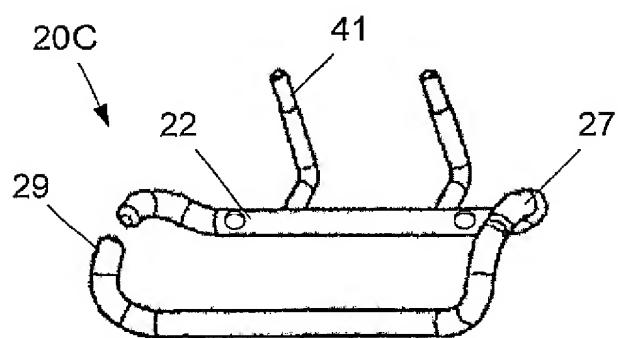


Fig. 3C

4/27

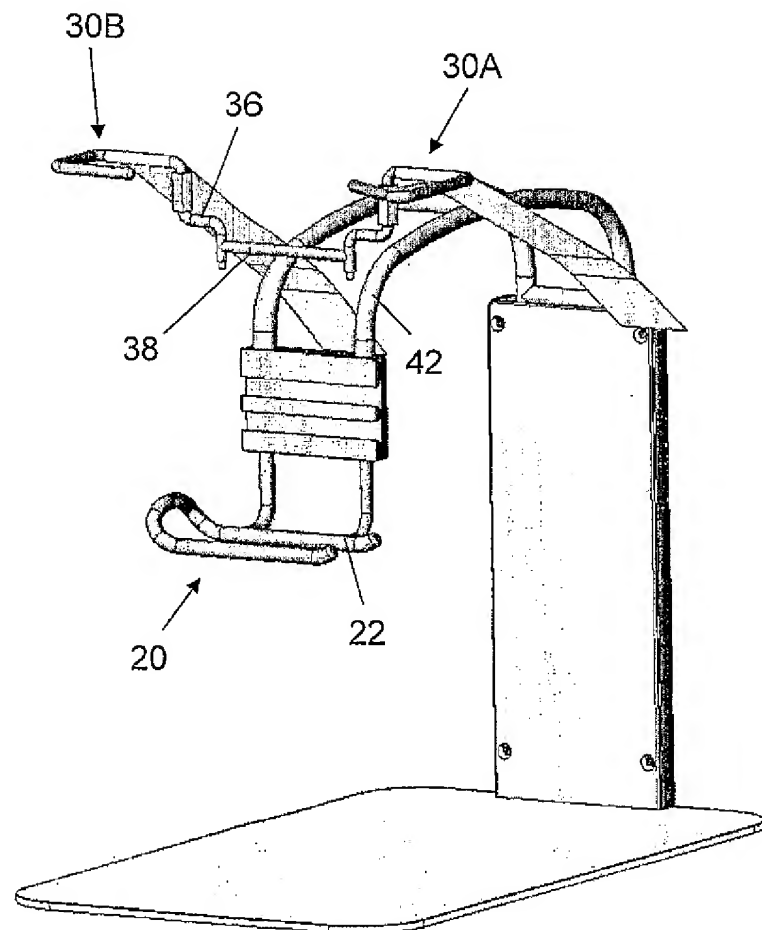


Fig. 4

5/27

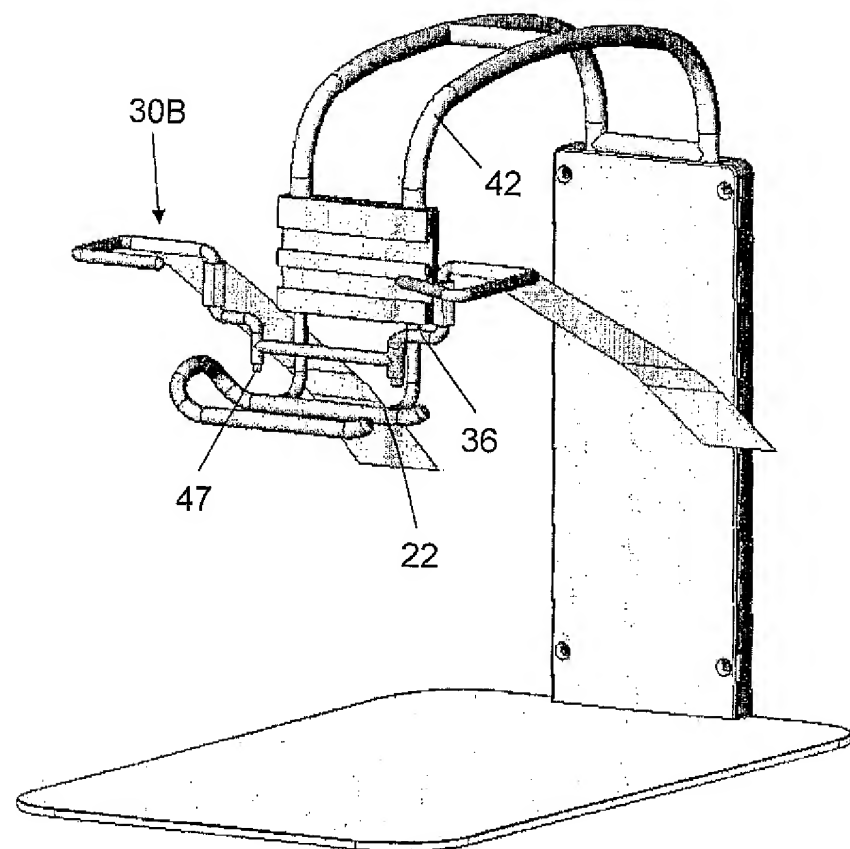


Fig. 5

6/27

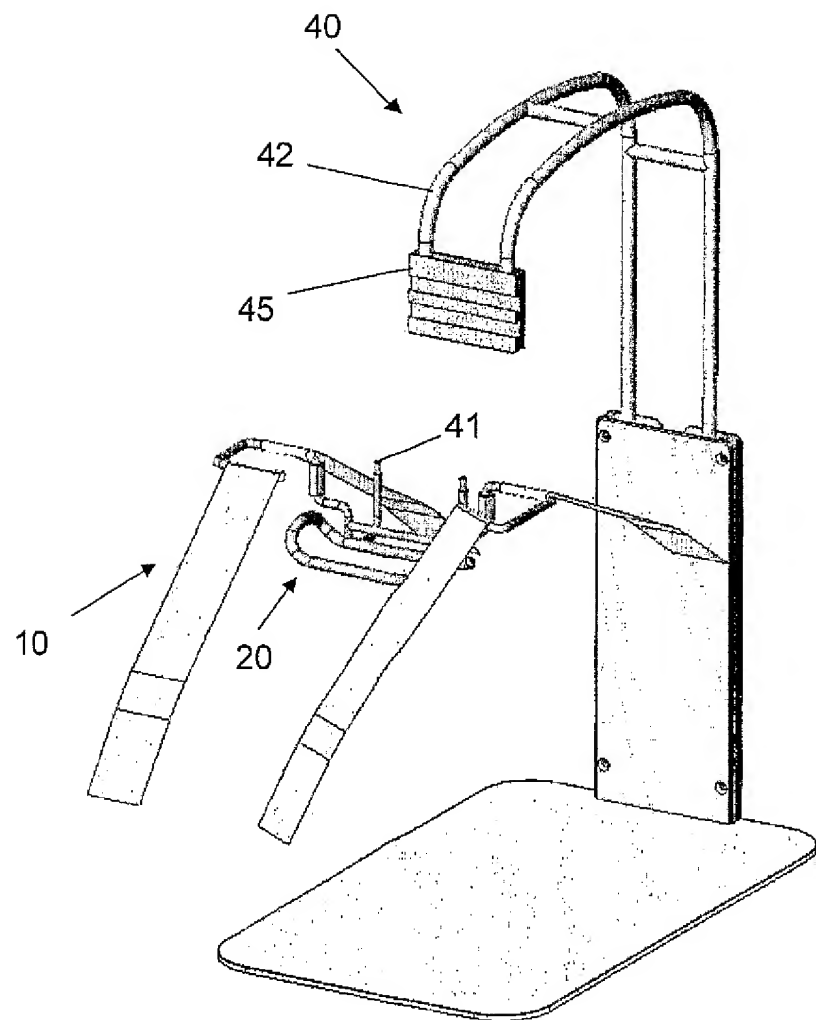


Fig. 6

7/27

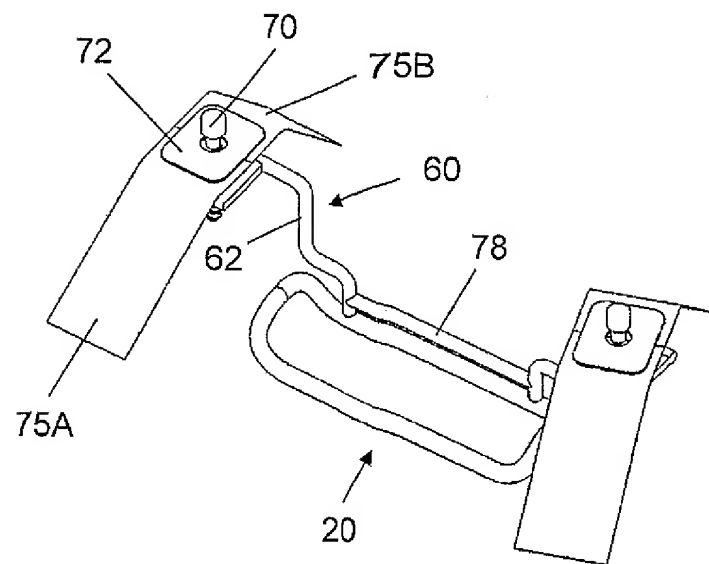


Fig. 7

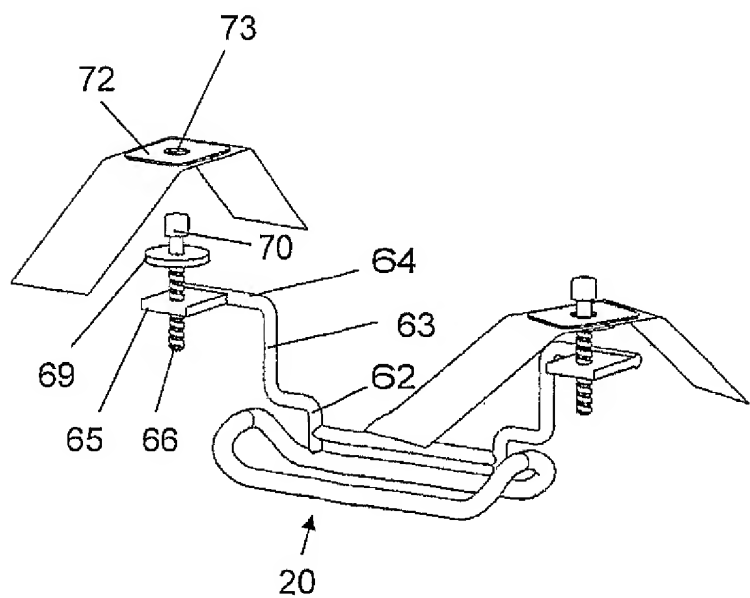


Fig. 8

8/27

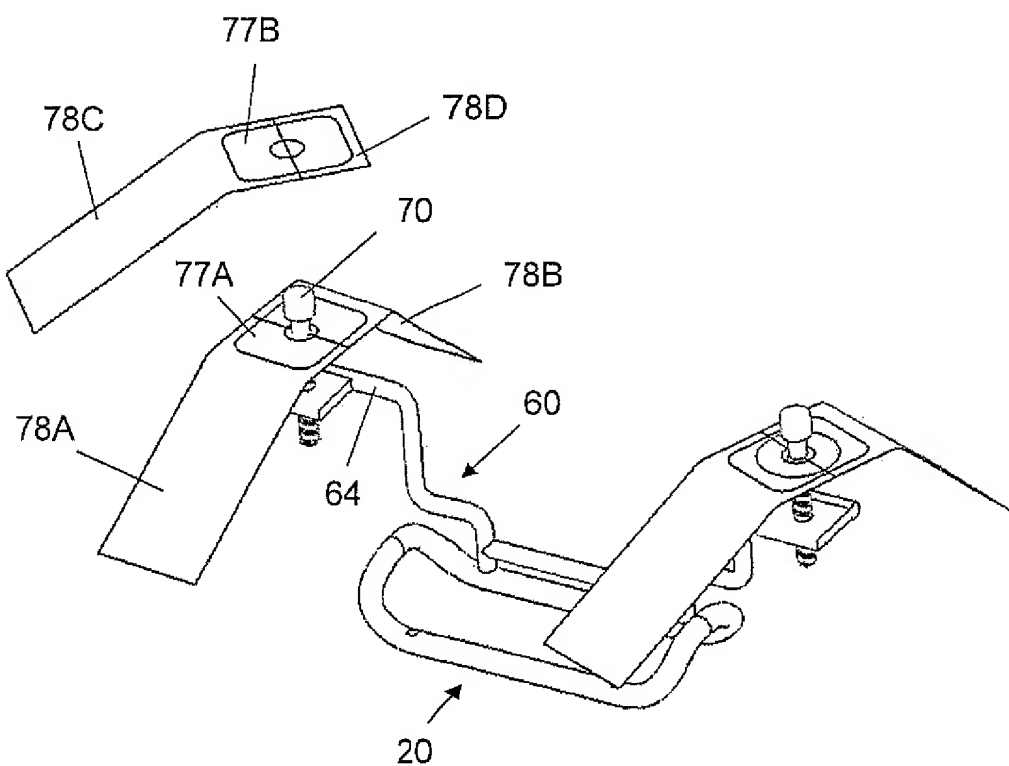


Fig. 9

9/27

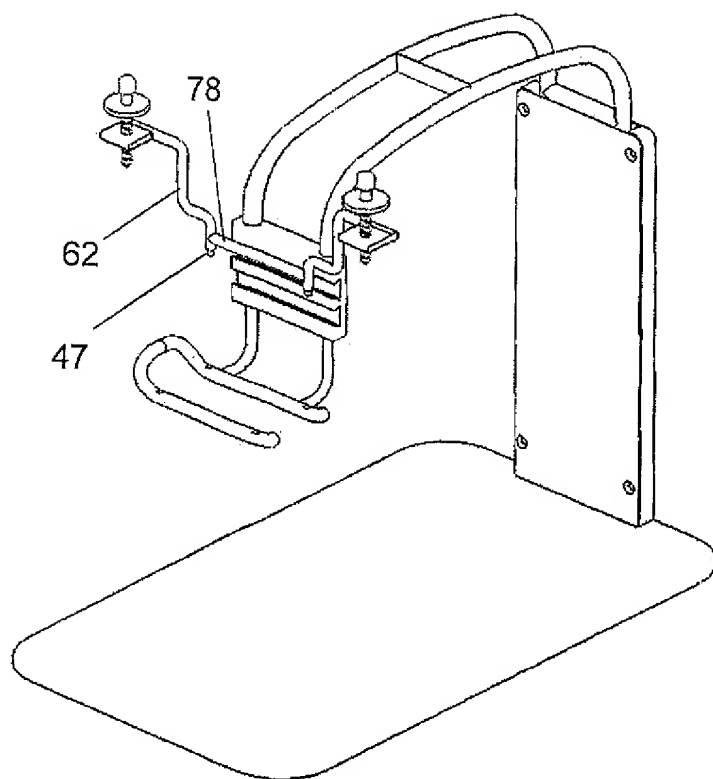


Fig. 10

10/27

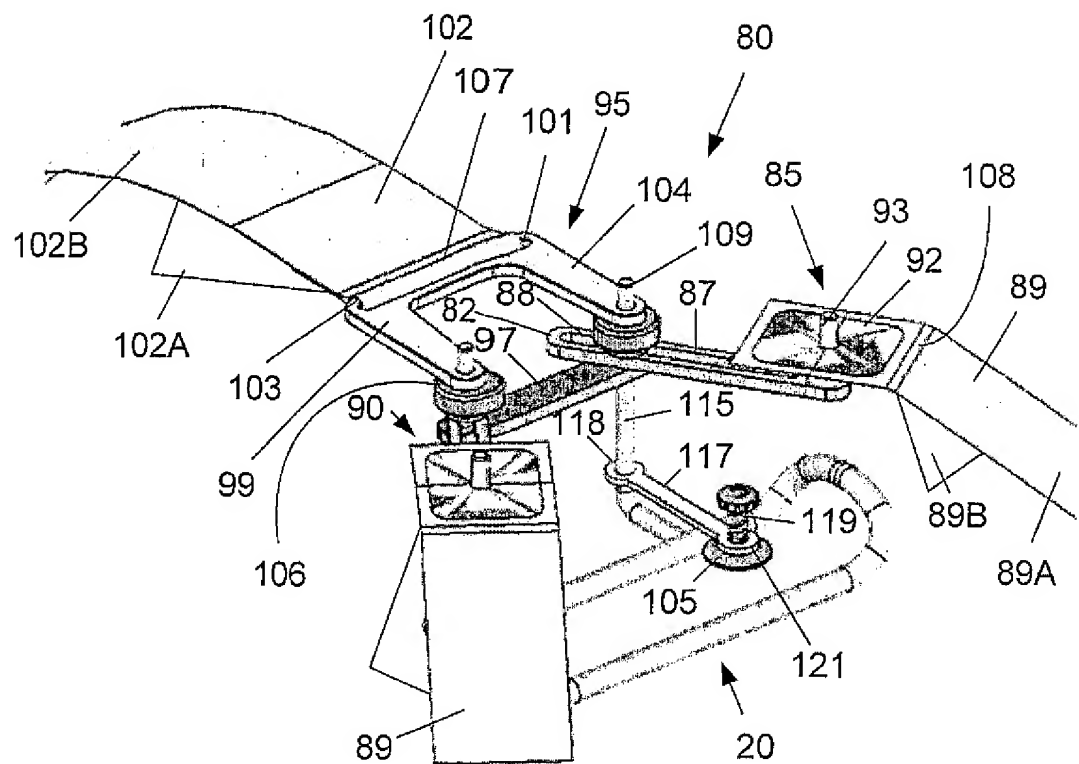


Fig. 11

11/27

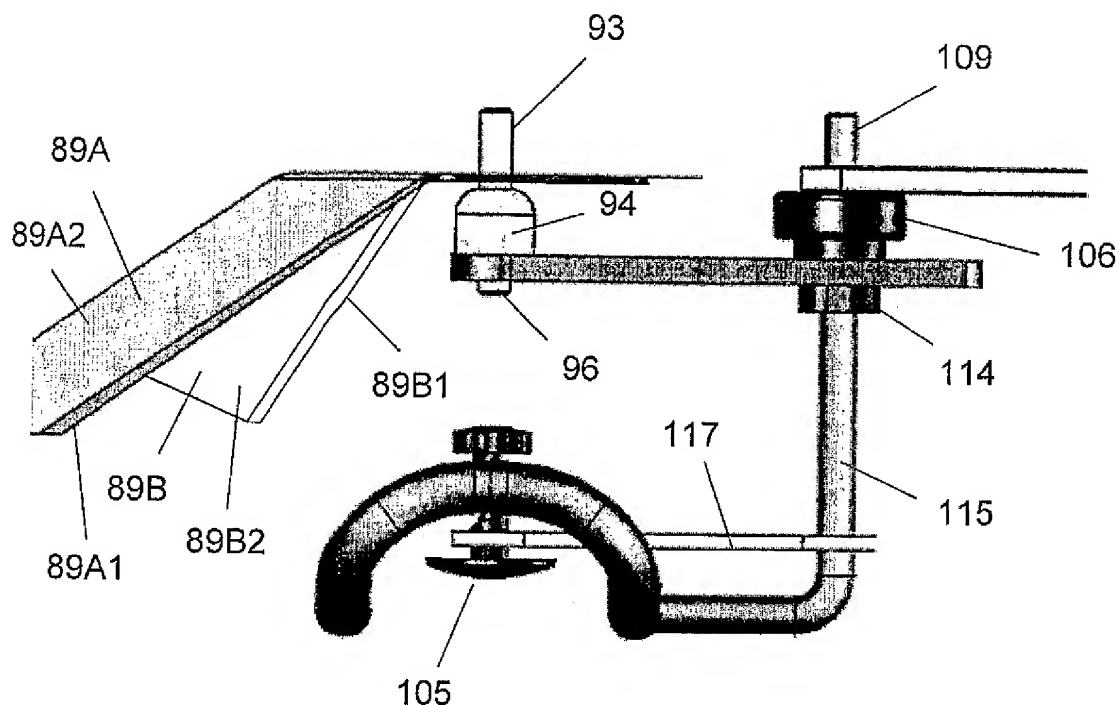


Fig. 12

12/27

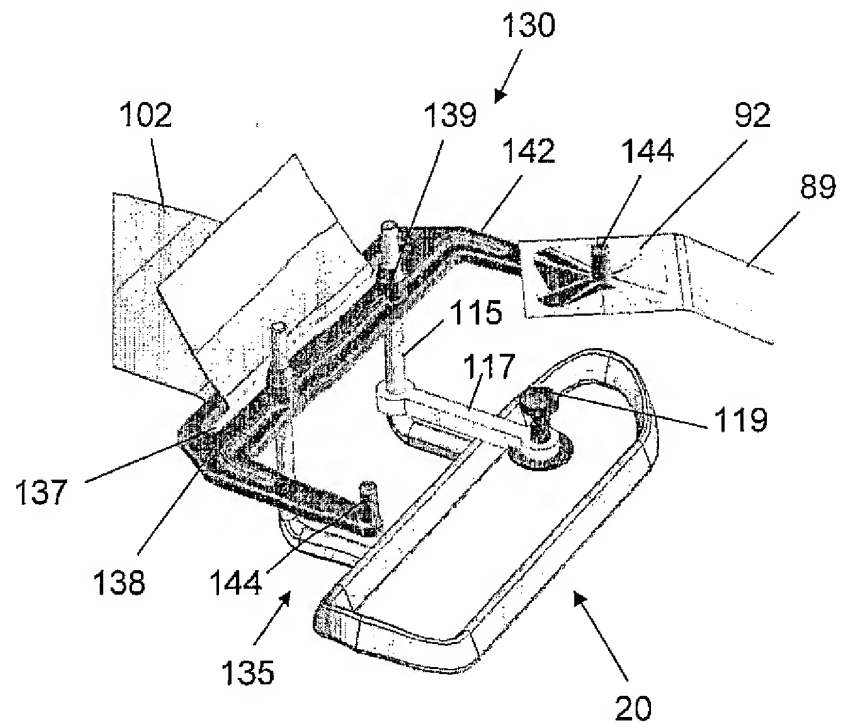


Fig. 13

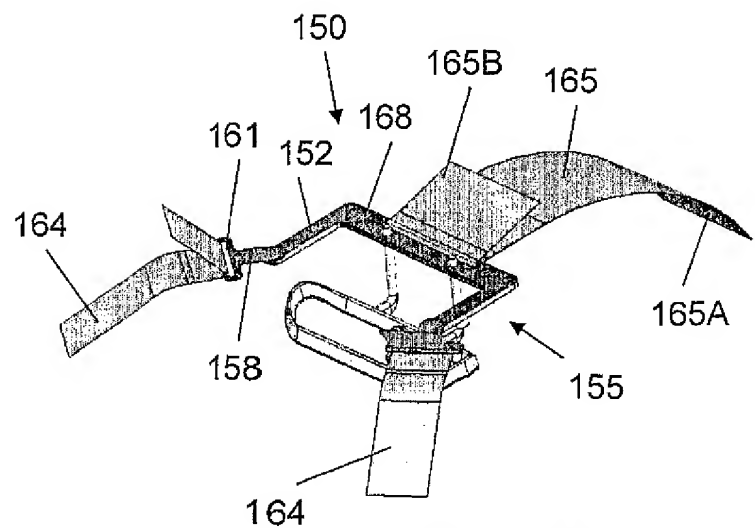


Fig. 14

13/27

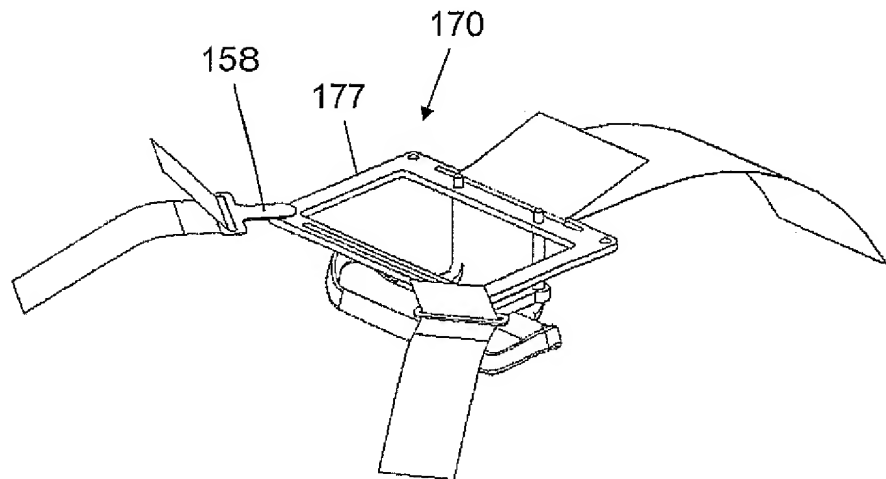


Fig. 15

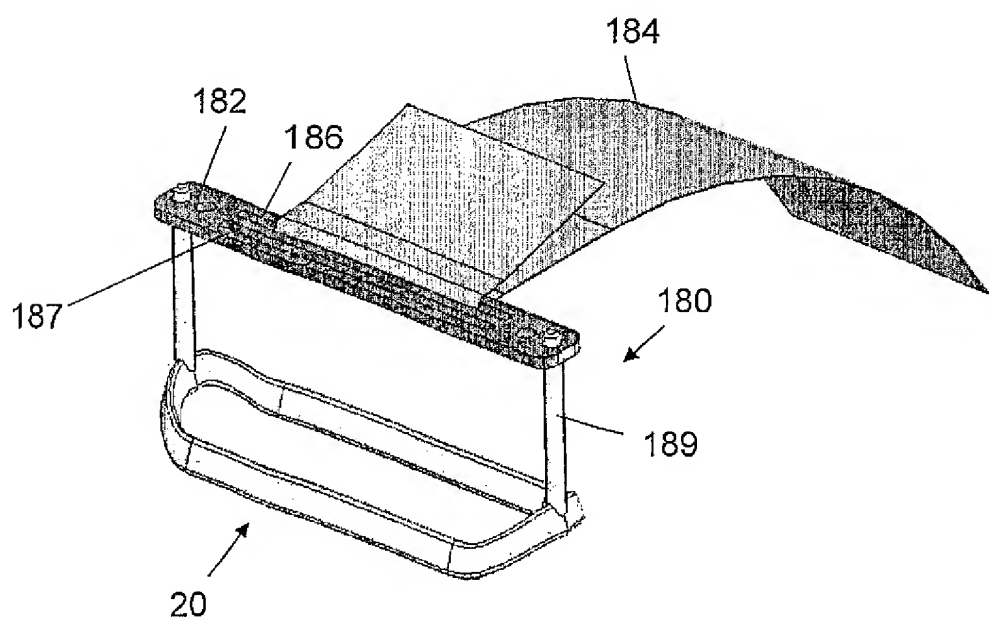


Fig. 16

14/27

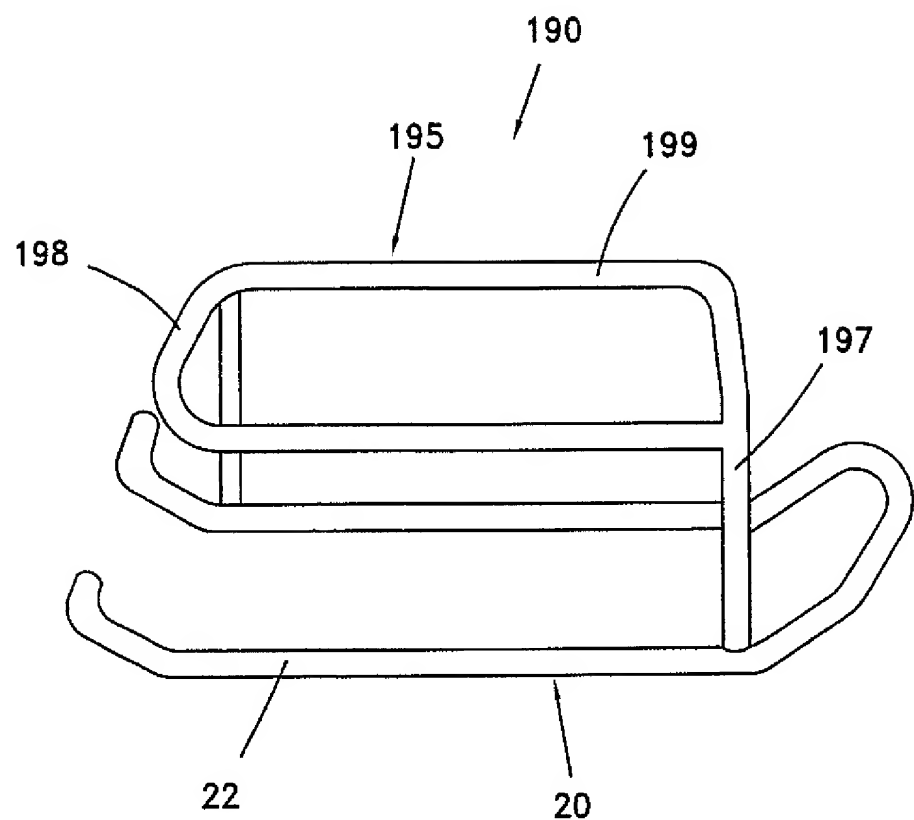


Fig. 17

15/27

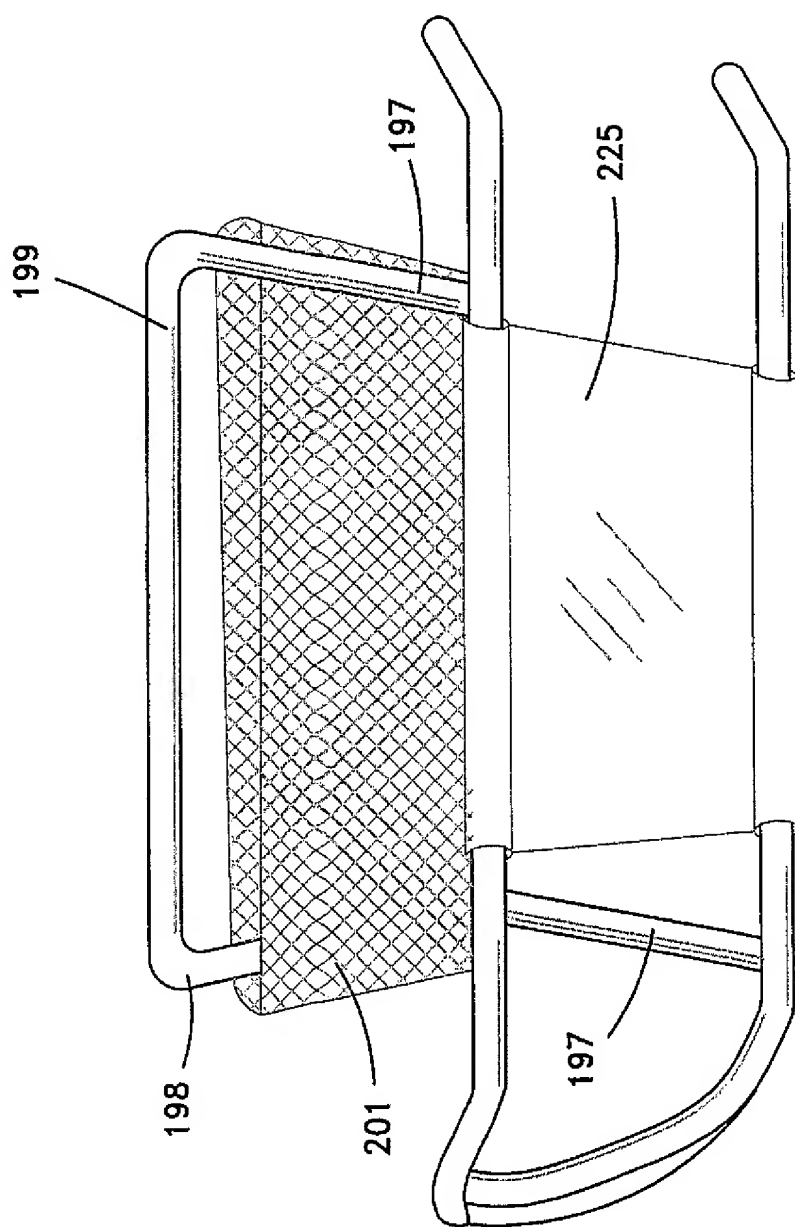


Fig. 18

16/27

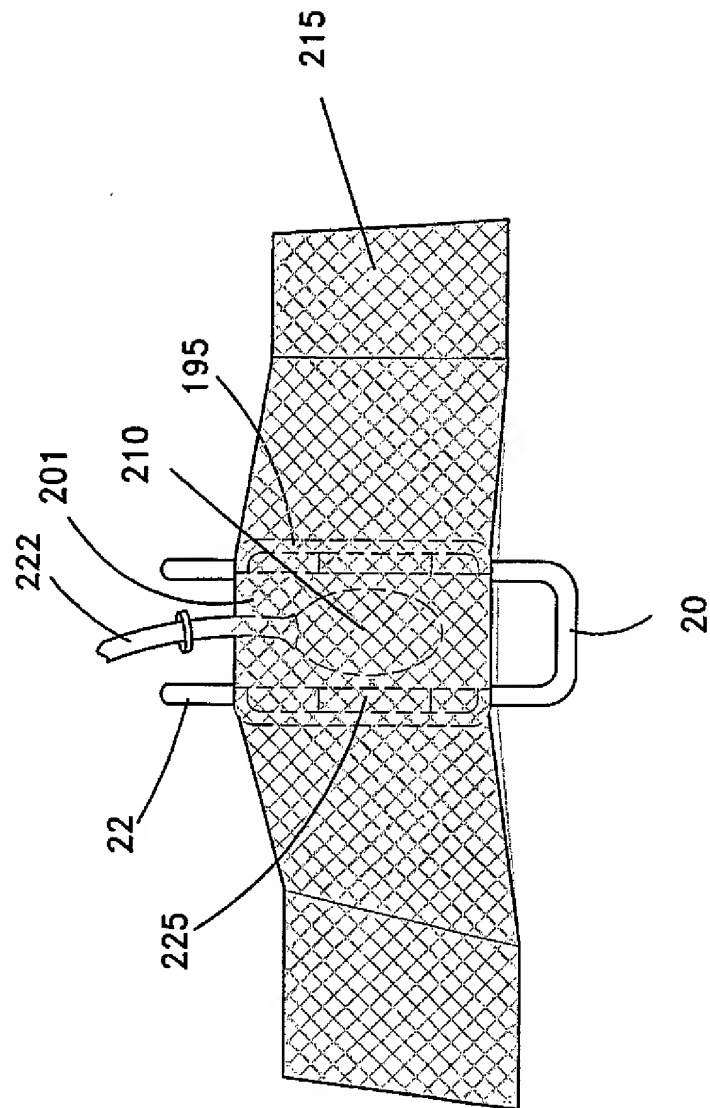


Fig. 19

17/27

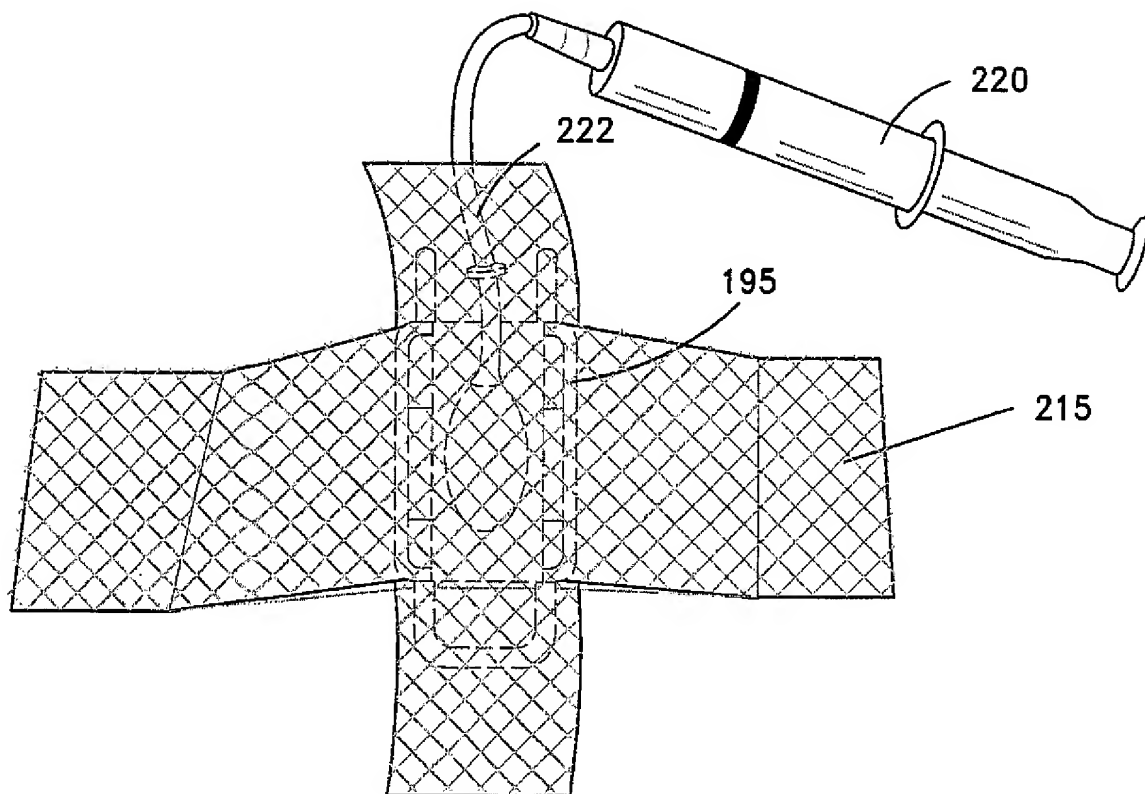


Fig. 20

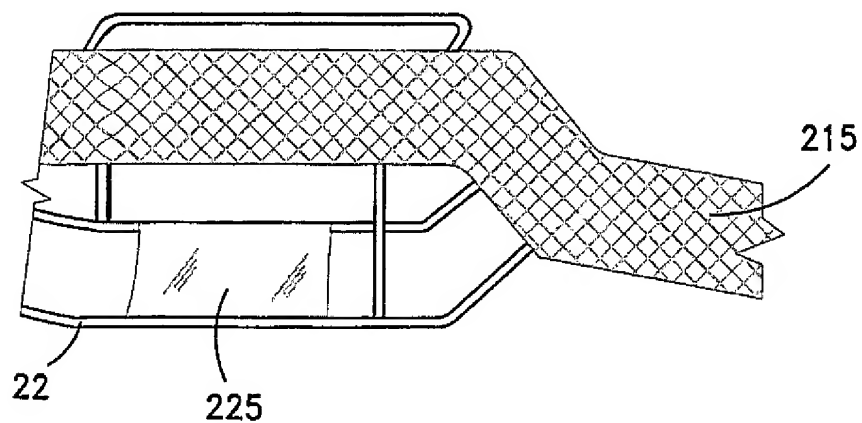


Fig. 21

18/27

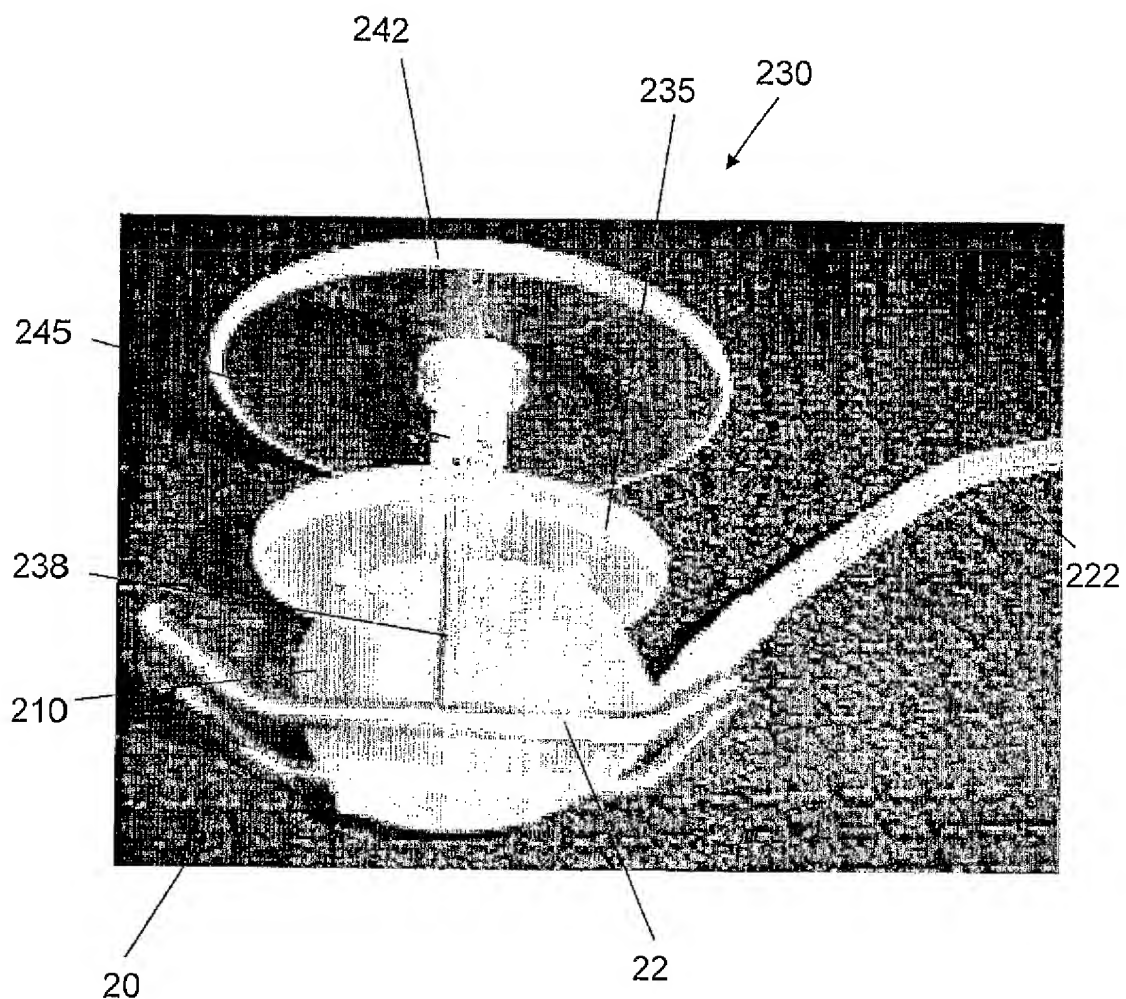


Fig. 22

19/27

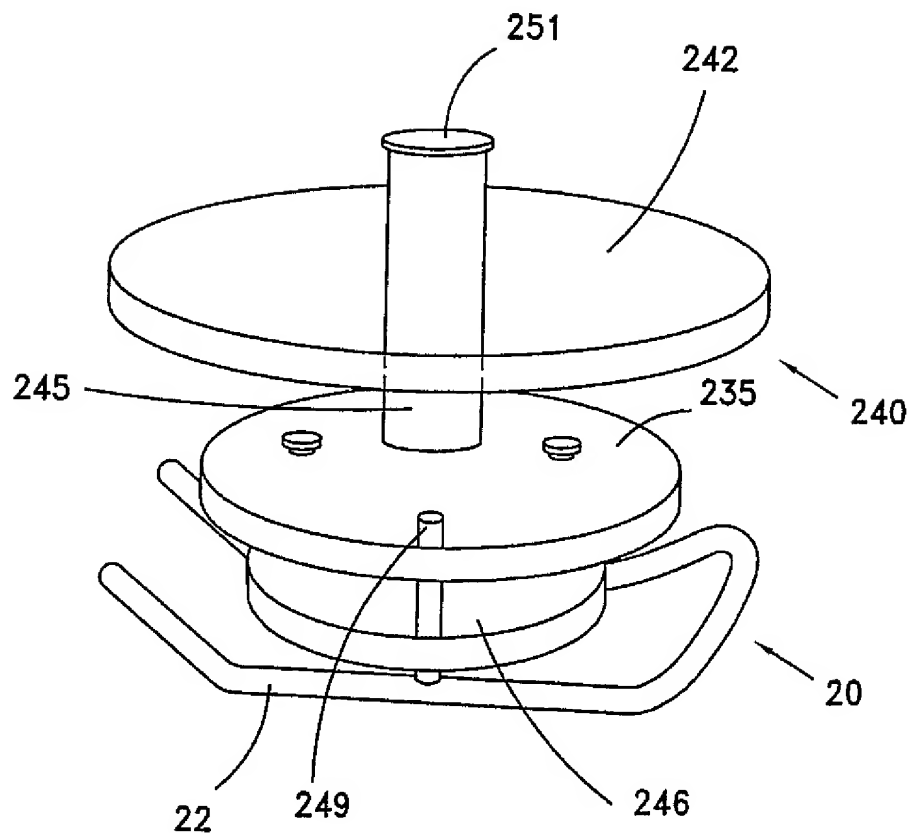


Fig. 23

20/27

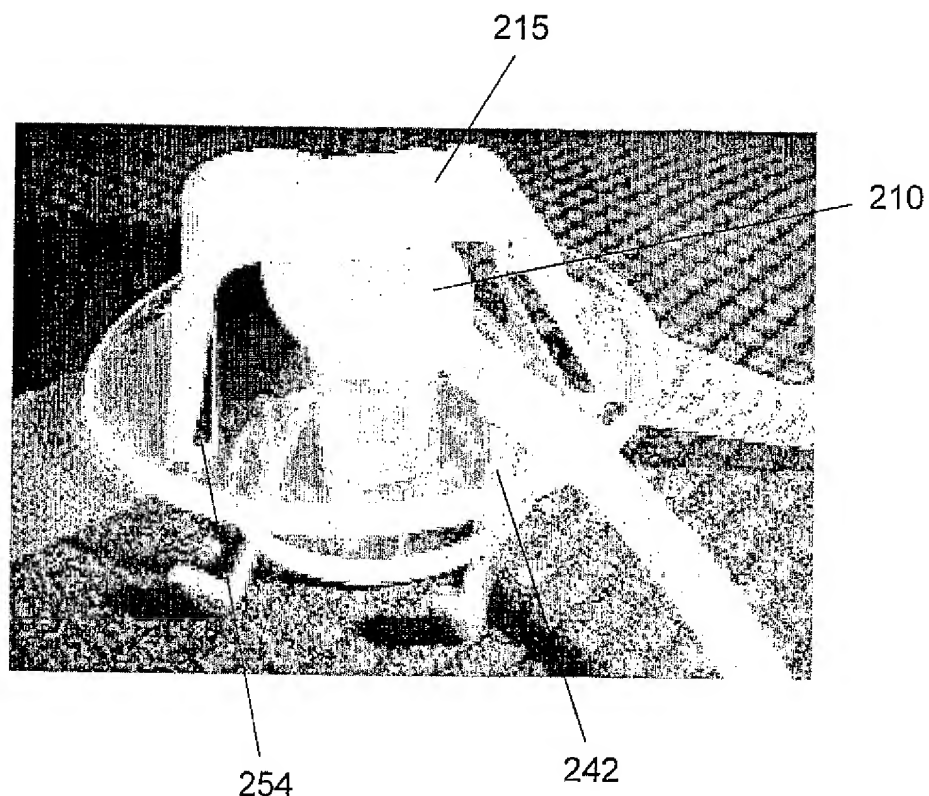


Fig. 24

21/27

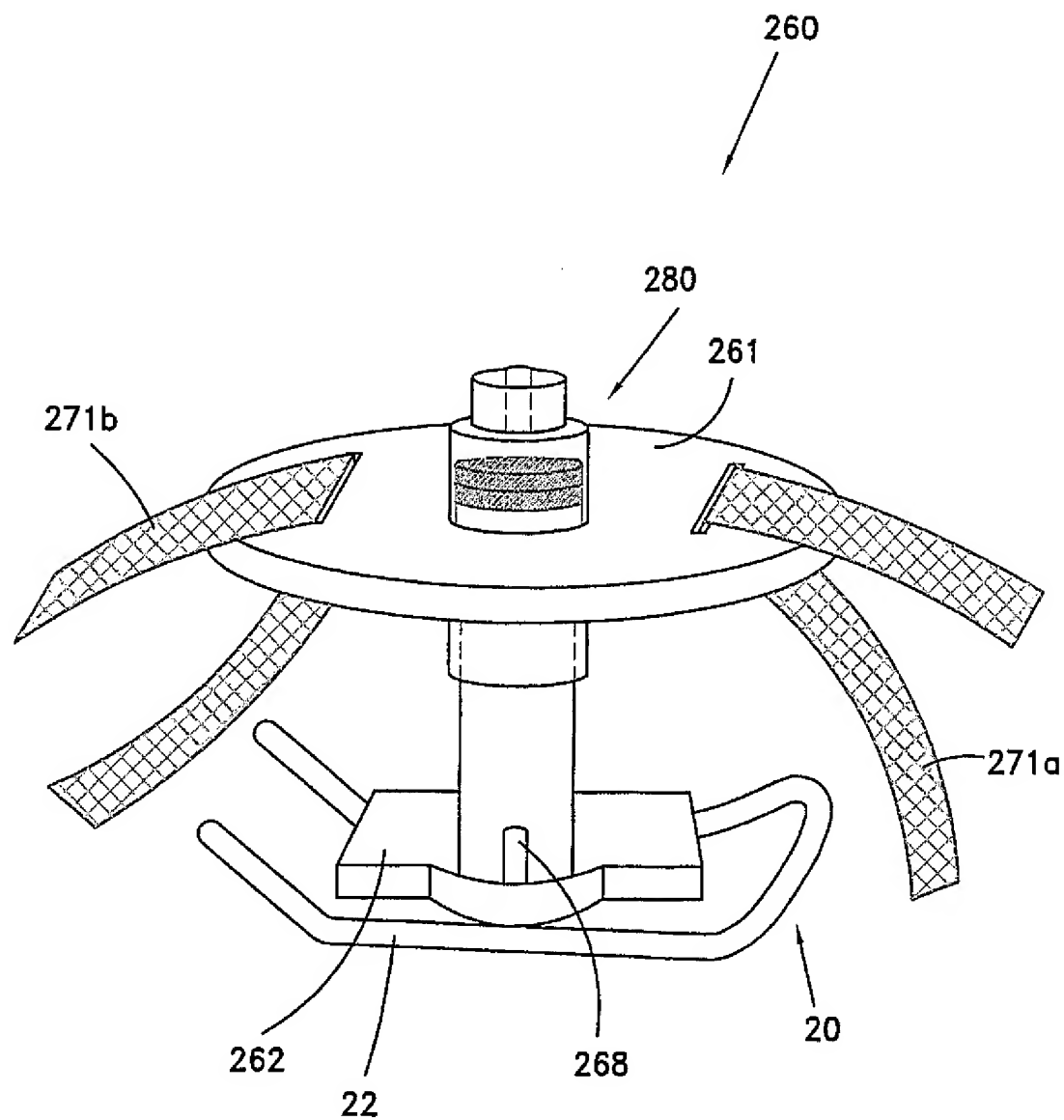


Fig. 25

22/27

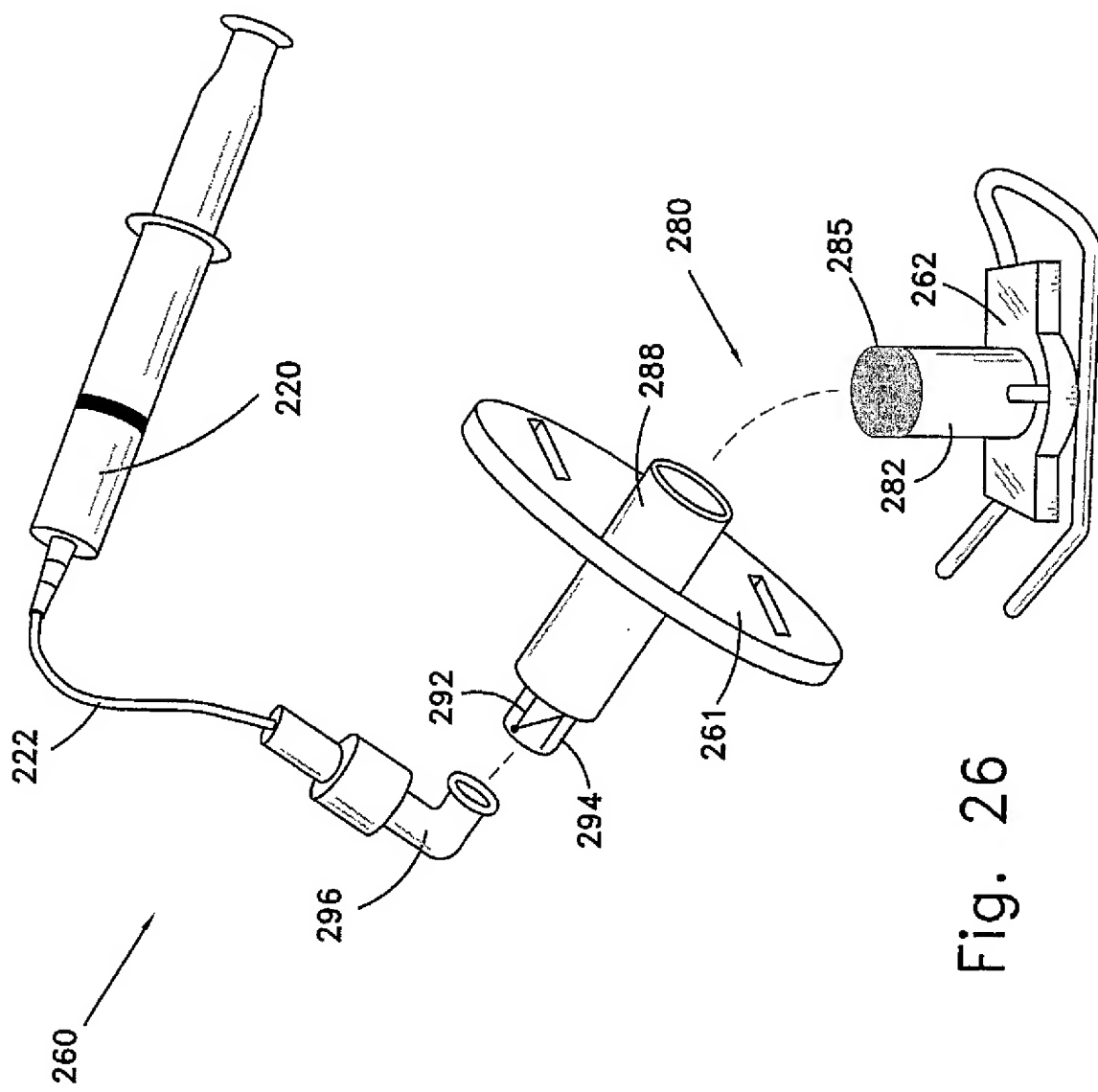


Fig. 26

23/27

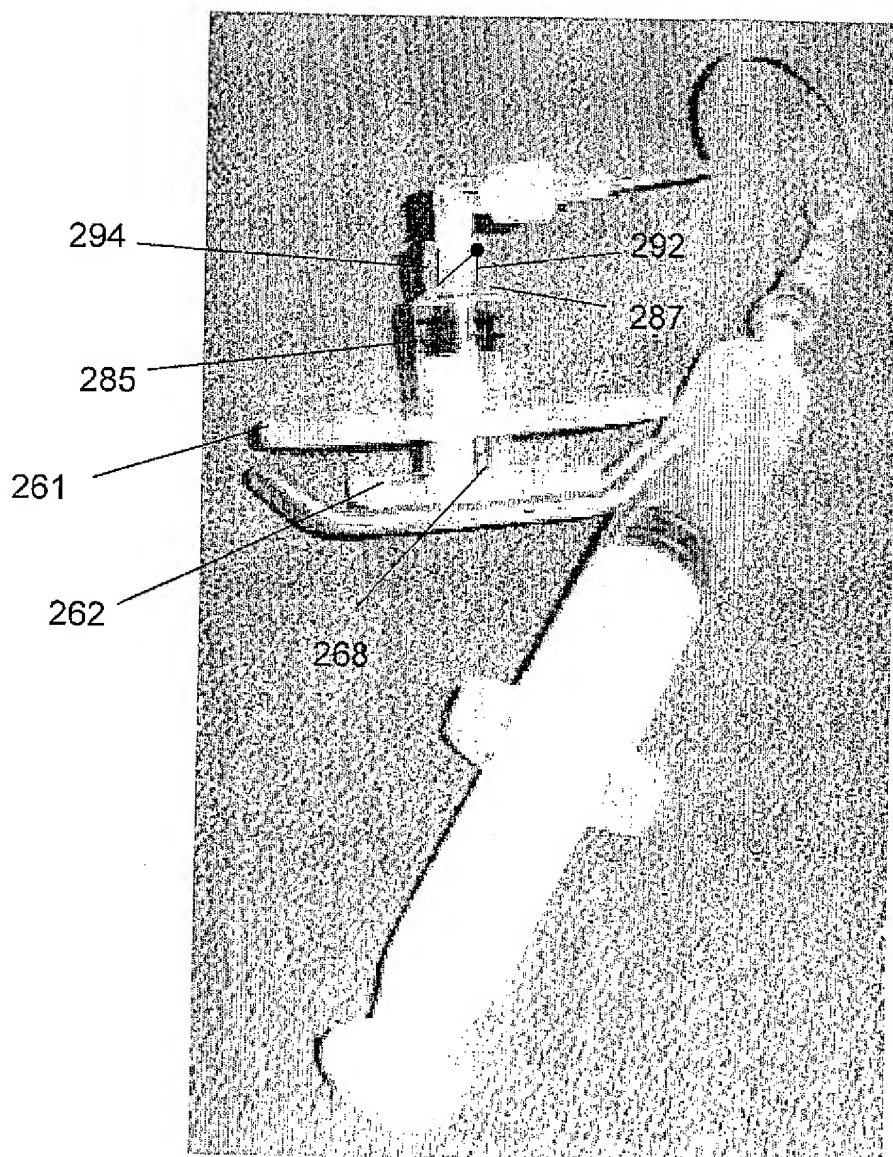


Fig. 27

24/27

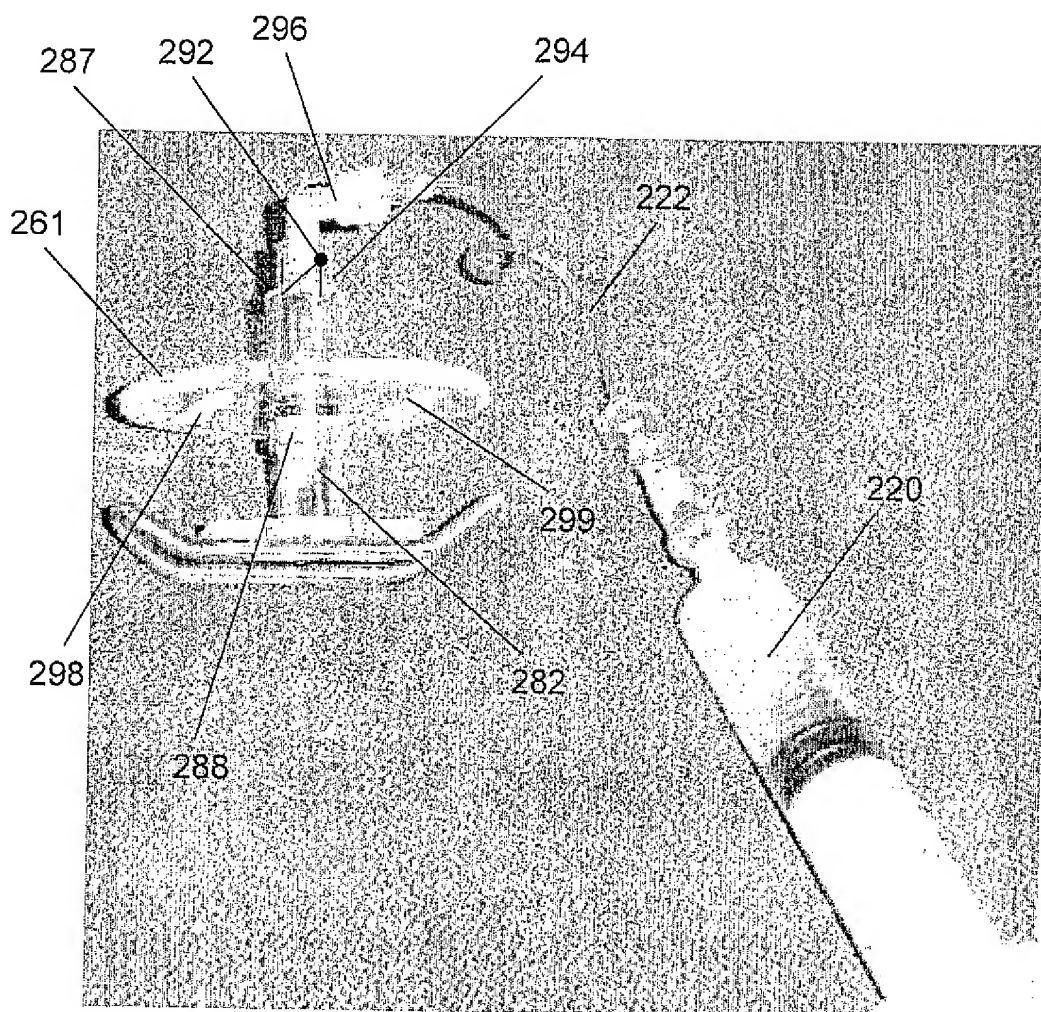


Fig. 28

25/27

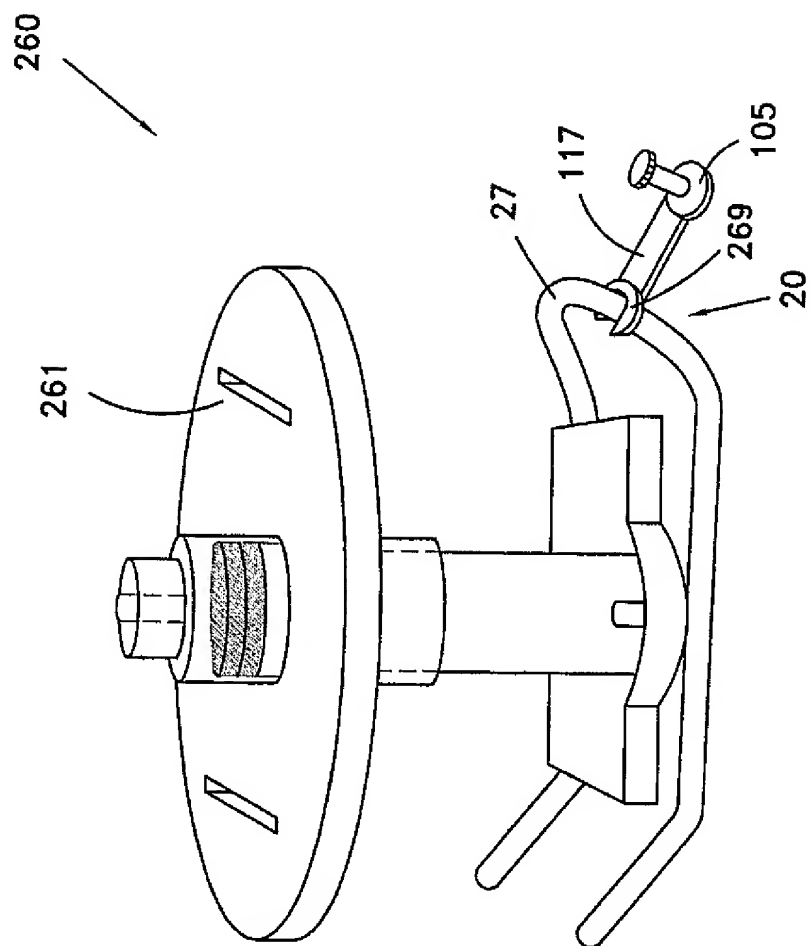


Fig. 29

26/27

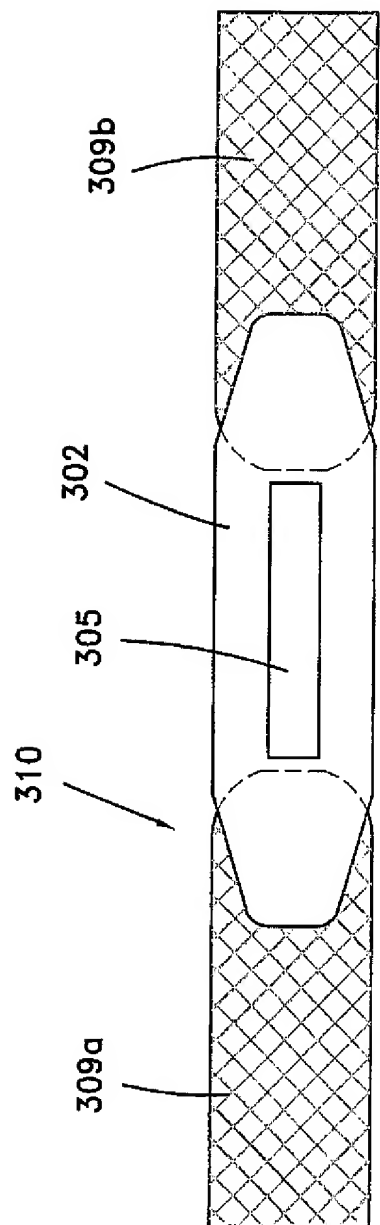


Fig. 30

27/27

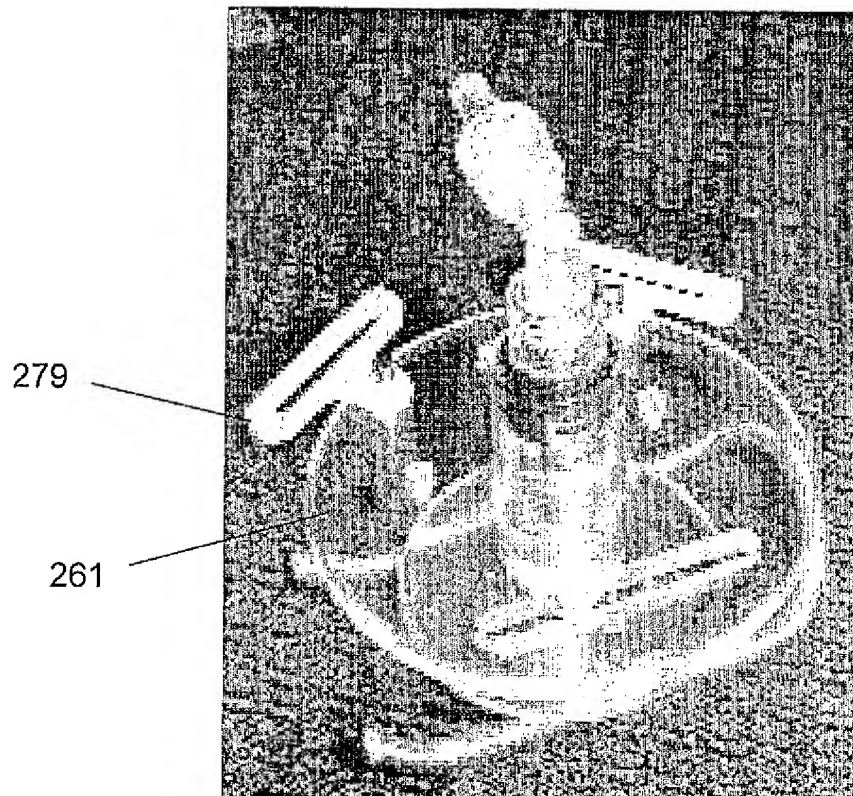


Fig. 31